

บทที่ 6

การประยุกต์แบบจำลอง SDSM สำหรับคาดการณ์ฝนในอนาคต

เมื่อได้ชุดตัวแปร NCEP ที่ดีที่สุดสำหรับแต่ละสถานีแล้ว ก็นำตัวแปรที่ได้ทำการประยุกต์หาคุณลักษณะทางสถิติ (ค่าเฉลี่ย, ค่าความแปรปรวน, ค่าความเบี่ยงเบน, เปอร์เซ็นต์ที่ฝนตก, ช่วงเวลาที่ฝนไม่ตก, ช่วงเวลาที่ฝนตก, จำนวนครั้งสัมพัทธ์ที่ฝนตก, จำนวนครั้งสัมพัทธ์ที่ฝนไม่ตก) ที่สนใจ ของ HadCM3-A2 และ HadCM3-B2 โดยการเปรียบเทียบกันระหว่างฝนปัจจุบัน (ปี ค.ศ.1991-2001) กับฝนอนาคตในช่วงปี ค.ศ. 2030 (ปี ค.ศ. 2020-2040) โดยอยู่ภายใต้สมมุติฐานว่า ฝนที่ได้จาก HadCM3-A2 และ HadCM3-B2 จากชุดตัวแปร NCEP ที่ดีที่สุด ที่ทำการคัดกรองมาได้เป็นฝนจริงที่เกิดขึ้นจริงขึ้นเนื่องมาจากผลกระทบจากการเปลี่ยนแปลงของสภาพภูมิอากาศได้ดังนี้

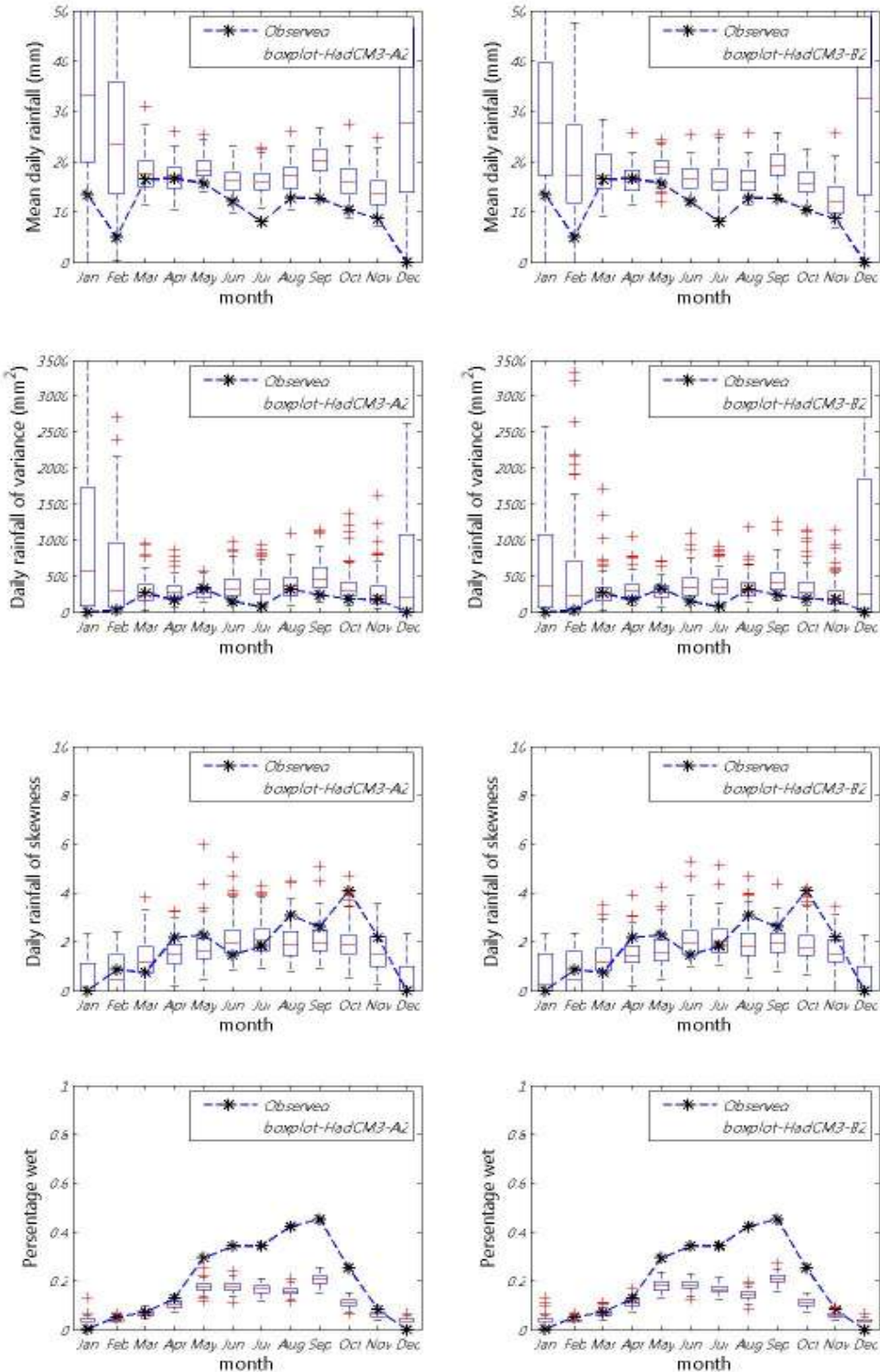
6.1 ลุ่มน้ำชี

สำหรับผลการเปรียบเทียบระหว่าง HadCM3-A2 และ HadCM3-B2 ในช่วง ปี ค.ศ. 1991-2001 ที่เกิดจากชุดตัวแปร NCEP ที่ได้รับ เทียบกับฝนรายวันอดีตของลุ่มน้ำชีนั้นผลการเปรียบเทียบ เป็นไปในทางทิศเดียวกันคือ คือแบบภาพฉาย HadCM3-A2 และ HadCM3-B2 แสดงค่าเฉลี่ย, ค่าความแปรปรวน, ค่าความเบี่ยงเบน ช่วงเวลาที่ฝนไม่ตก และจำนวนครั้งสัมพัทธ์ที่ฝนไม่ตกได้ดี (อยู่ในช่วง box plot) แต่สำหรับค่าเปอร์เซ็นต์ที่ฝนตก, ช่วงเวลาที่ฝนตก และจำนวนครั้งสัมพัทธ์ที่ฝนตก ภาพฉาย ทั้ง 2 สังเคราะห์ค่าได้ต่ำกว่าข้อมูลจริงเนื่องจากเกิดการเปลี่ยนแปลงของภูมิอากาศโลกจึงทำให้ค่าดังกล่าวมีค่าลดลงโดยเฉพาะในช่วงฤดูฝน กล่าวคือมีปริมาณฝนลดลง

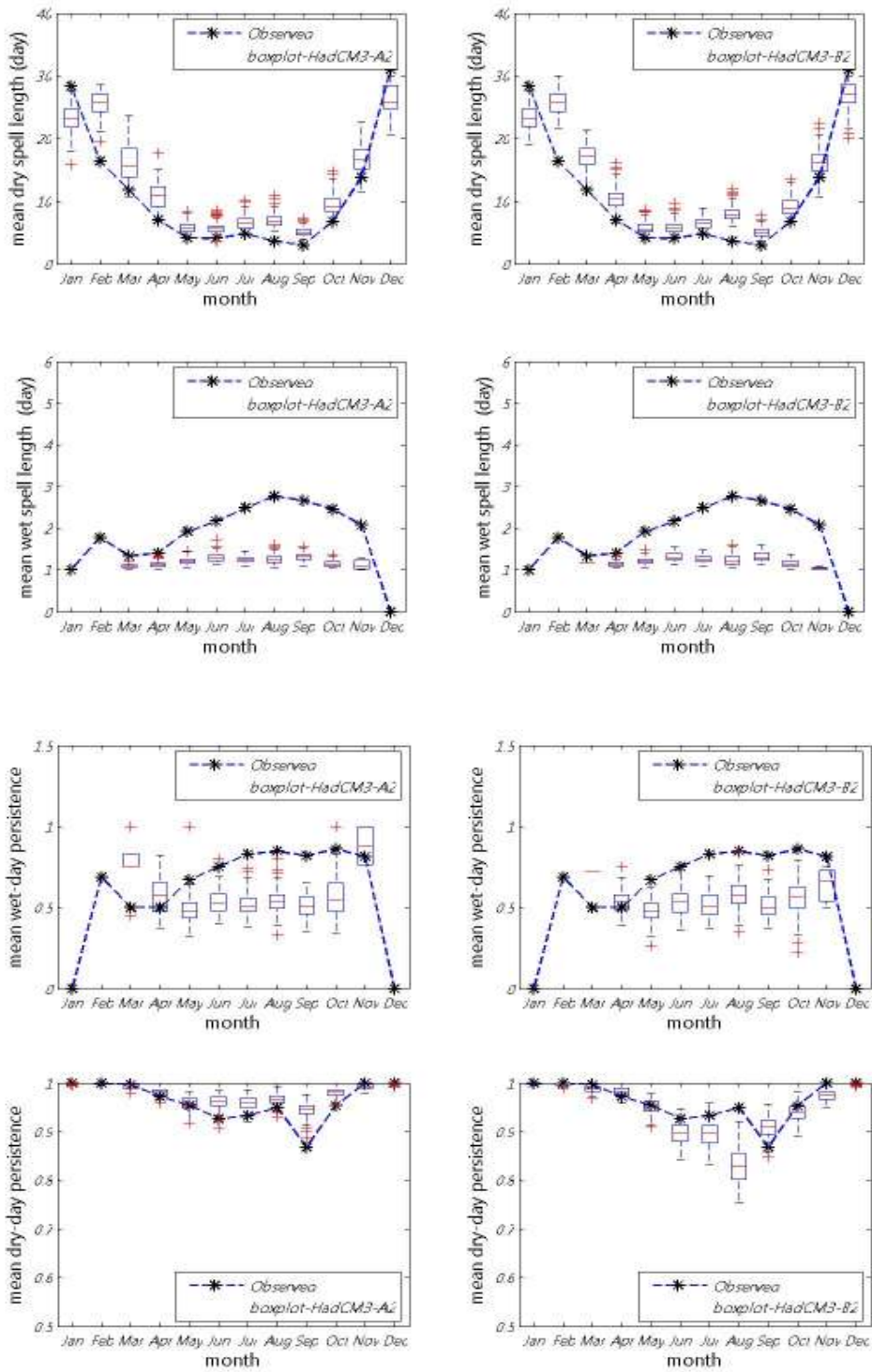
จากการที่ 6.1 เป็นการแสดงคุณลักษณะทางสถิติที่ได้จากการเปรียบเทียบกับฝนรายวัน HadCM3-A2 และ HadCM3-B2 ในช่วง ปี ค.ศ. 1991-2001 ที่เกิดจากชุดตัวแปร NCEP ที่ได้รับ เทียบกับฝนรายวันอดีต ของสถานี 05092 จากการแสดงให้เห็นว่าการเปลี่ยนแปลงของสภาพภูมิอากาศไม่ค่อยมีผลกระทบกับค่าเฉลี่ย, ค่าความแปรปรวน, ค่าความเบี่ยงเบน ช่วงเวลาที่ฝนไม่ตก และจำนวนครั้งสัมพัทธ์ที่ฝนไม่ตก เท่าไหร่นัก แต่จะมีผลต่อค่าเปอร์เซ็นต์ที่ฝนตก, ช่วงเวลาที่ฝนตก และจำนวนครั้งสัมพัทธ์ที่ฝนตกโดยเฉพาะในเดือนพฤษภาคมถึงเดือนตุลาคม สำหรับความแตกต่างกันระหว่าง HadCM3-A2 และ HadCM3-B2 ในช่วง ปี ค.ศ. 1991-2001 มีเพียงค่าจำนวนครั้งสัมพัทธ์ที่ฝนไม่ตก เพียงค่าเดียวเท่านั้น ที่แบบภาพฉาย HadCM3-A2 สร้างภาพฉายได้ค่าที่สูงกว่าภาพฉาย HadCM3-B2 อย่างเห็นได้ชัดแต่ยังมีค่าใกล้เคียงกับข้อมูลจริง (อยู่ใน box plot)

ภาพที่ 6.5-6.8 แสดงค่าปริมาณฝนสูงสุด 1 วัน 2 วัน และ 3 วัน สำหรับลุ่มน้ำซึ้งของ HadCM3-A2 และ HadCM3-B2 ภาพนี้ยังแสดงความสามารถอธิบายปริมาณฝนสูงสุดได้ดี (อยู่ใน box plot) แต่มีเพียงสถานีเดียวที่ภาพนี้ HadCM3-A2 และ HadCM3-B2 อธิบายได้สูงกว่าข้อมูลจริง คือสถานี 49062 แสดงให้เห็นว่าภาพนี้ HadCM3-A2 และ HadCM3-B2 สังเคราะห์ค่าได้สูงกว่า ข้อมูลจริง

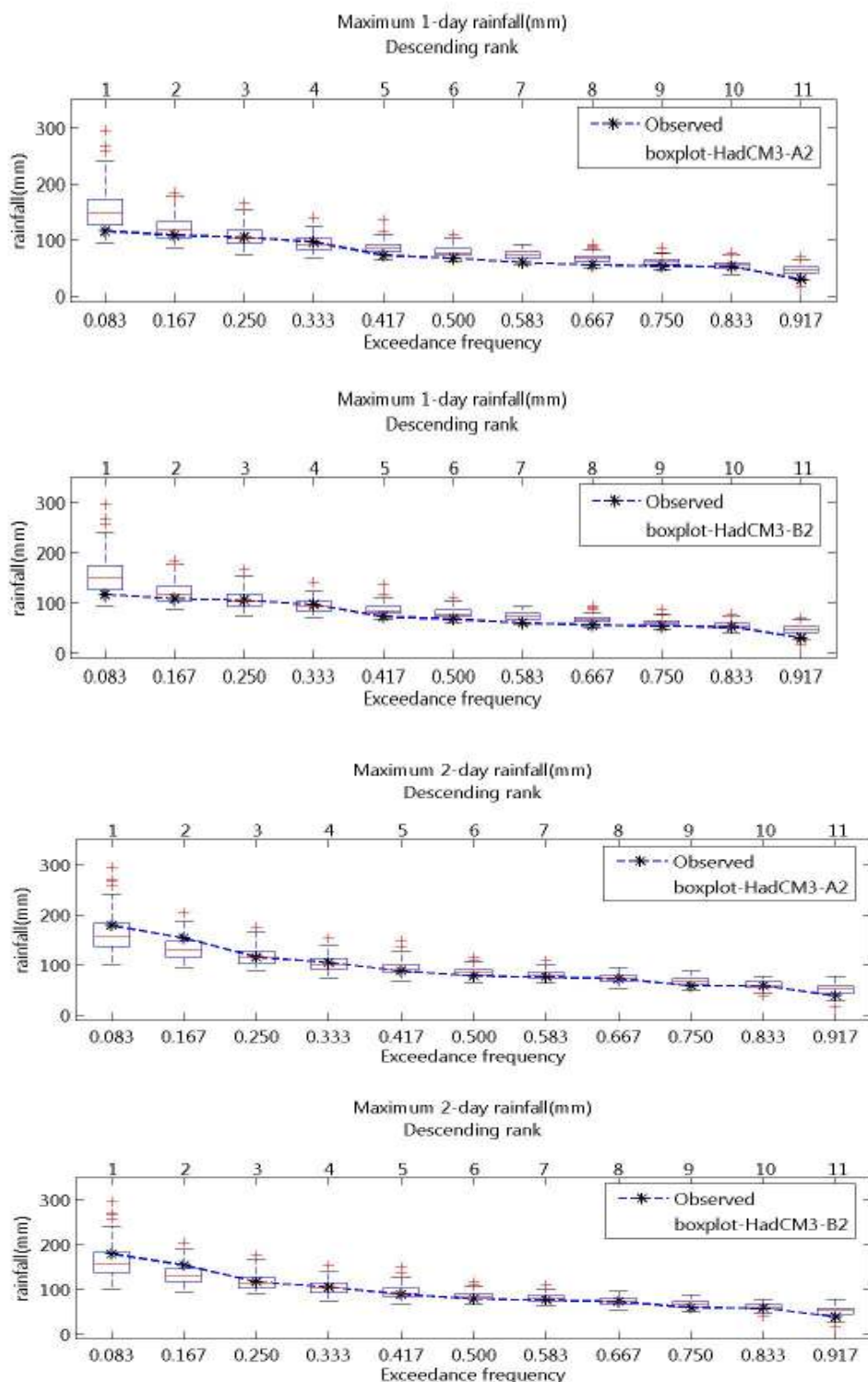
ภาพที่ 6.7-6.10 แสดงการประยุกต์แบบจำลอง SDSM สำหรับคาดการณ์ฝนในอนาคตในลุ่มน้ำซึ้นนั้นเป็นไปในทิศทางเดียวกันซึ่งจะเห็นได้ว่า ถ้า 20 ปี ข้างหน้านั้น ค่าเฉลี่ย, ค่าความแปรปรวน, ค่าความเบี้ยวของฝนไม่มีการเปลี่ยนแปลงมากนัก สำหรับค่าทางสถิติที่เกิดการเปลี่ยนแปลงอย่างเห็นได้ชัดคือค่าที่มีค่าลดลงคือค่าเบอร์เซ็นต์ที่ฝนตก, ช่วงเวลาที่ฝนตก และจำนวนครั้งสัมพัทธ์ที่ฝนตก จะมีค่าเพิ่มลดลงโดยเฉพาะเดือนมิถุนายนถึงสิงหาคม ในทางกลับกันช่วงเวลาที่ไม่ฝนตก และจำนวนครั้งสัมพัทธ์ที่ไม่ฝนตก จะมีค่าเพิ่มขึ้นในเดือนตั้งก่อตัว และที่มีค่าลดลงทุกเดือนอย่างเห็นได้ชัดได้แก่ค่าช่วงเวลาที่ฝนตก จะมีค่าเพิ่มลดลงในอัตราที่เกือบทุกเดือน(รายละเอียดของสถานีอื่นๆ ได้ในภาพ ๗.๑-๗.๔๔ ของภาคผนวก จ) ค่าปริมาณฝนสูงสุด 1 วัน 2 วัน และ 3 วัน ที่สังเคราะห์ได้จากภาพนี้ HadCM3-A2 และ HadCM3-B2 ในช่วง ปี ค.ศ. 1991-2001 และ ปี ค.ศ. 2021-2040 ส่วนใหญ่จะมีค่าลดลงเล็กน้อยโดยเฉพาะในช่วงลำดับแรกๆ (รายละเอียดของสถานีอื่นๆ ได้ในภาพ ๗.๑-๗.๔๔ ของภาคผนวก ช)



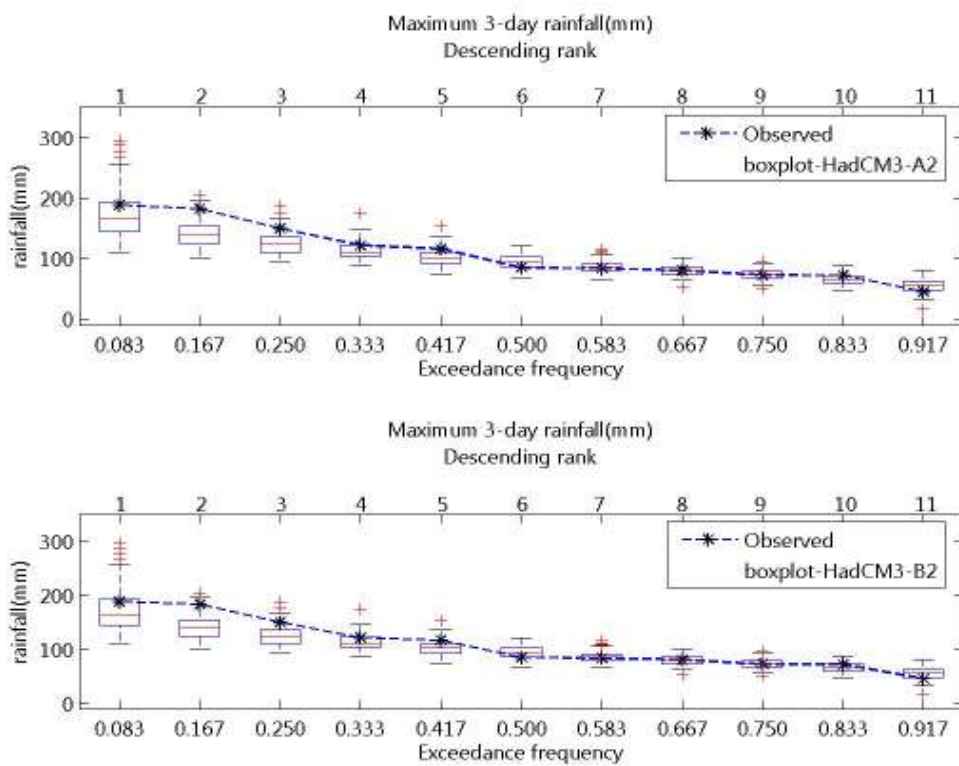
ภาพที่ 6.1 ค่าเฉลี่ย, ค่าความแปรปรวน, ค่าความเบ้ และค่าเบอร์เช็นต์ที่ฝนตกได้จากการพยากรณ์ HadCM3-A2 และ HadCM3-B2 ในช่วง ค.ศ. 1991-2001 สำหรับสถานี 05092 เทียบกับฝนรายวัน อธิค



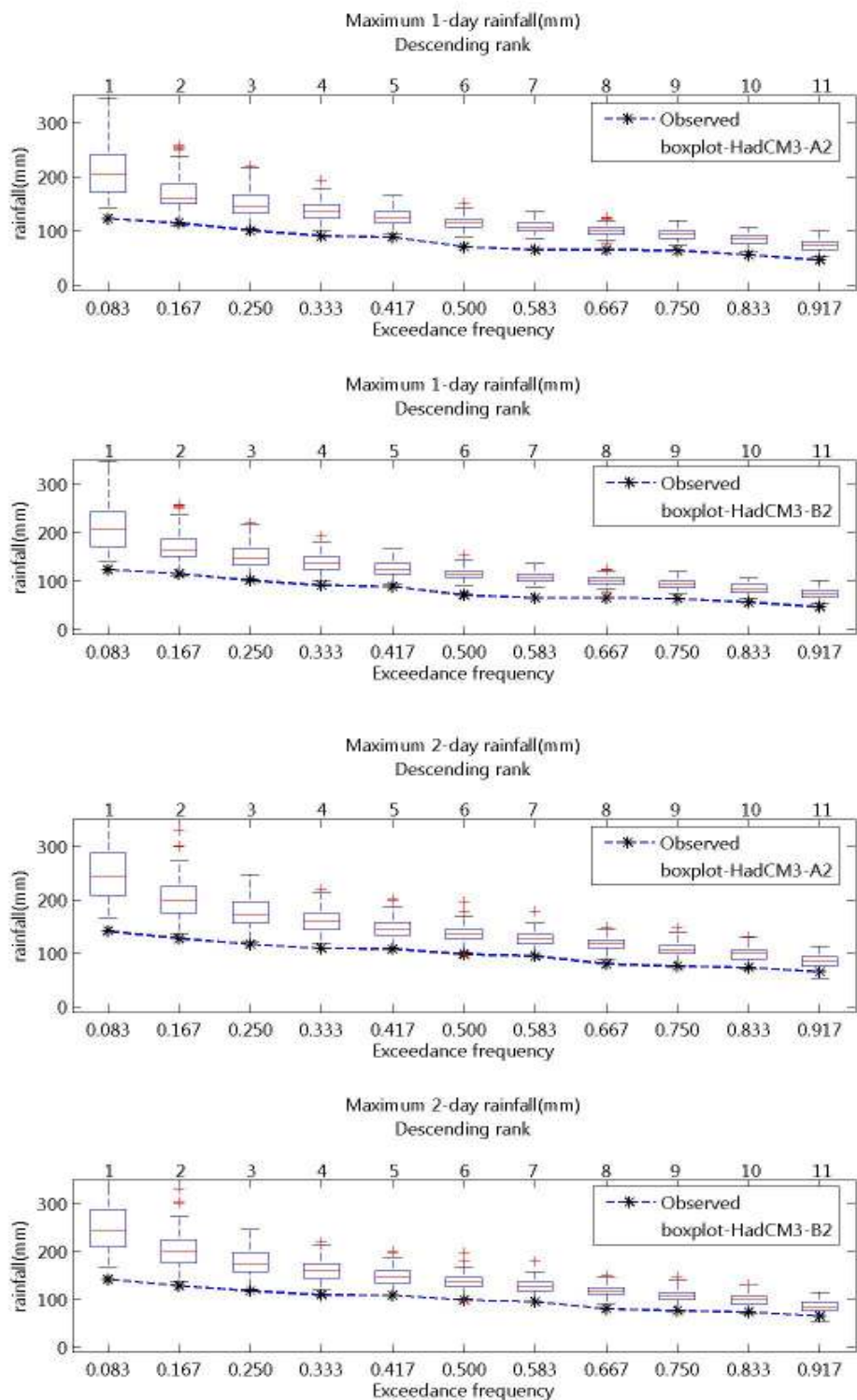
ภาพที่ 6.2 ช่วงเวลาที่ฝนไม่ตก, ช่วงเวลาที่ฝนตก, จำนวนครั้งสัมพัทธิ์ที่ฝนตก, จำนวนครั้งสัมพัทธิ์ที่ฝนไม่ตกจากภาพนาย HadCM3-A2 และ HadCM3-B2 ในช่วง ค.ศ. 1991-2001 ที่เกิดจากชุดตัวแปร NCEP ที่ได้รับคัดเลือก สำหรับสถานี 05092 เทียบกับฝนรายวันอดีต



ภาพที่ 6.3 ความถี่ส่วนเกินของฝนสูงสุด 1- และ 2-วันที่คำนวนจากข้อมูลอดีต และที่สังเคราะห์ได้จากภาพนาย HadCM3-A2 และ HadCM3-B2 ในช่วง ค.ศ. 1991-2001 สำหรับสถานี 05092 เทียบกับฝนรายวันอดีต

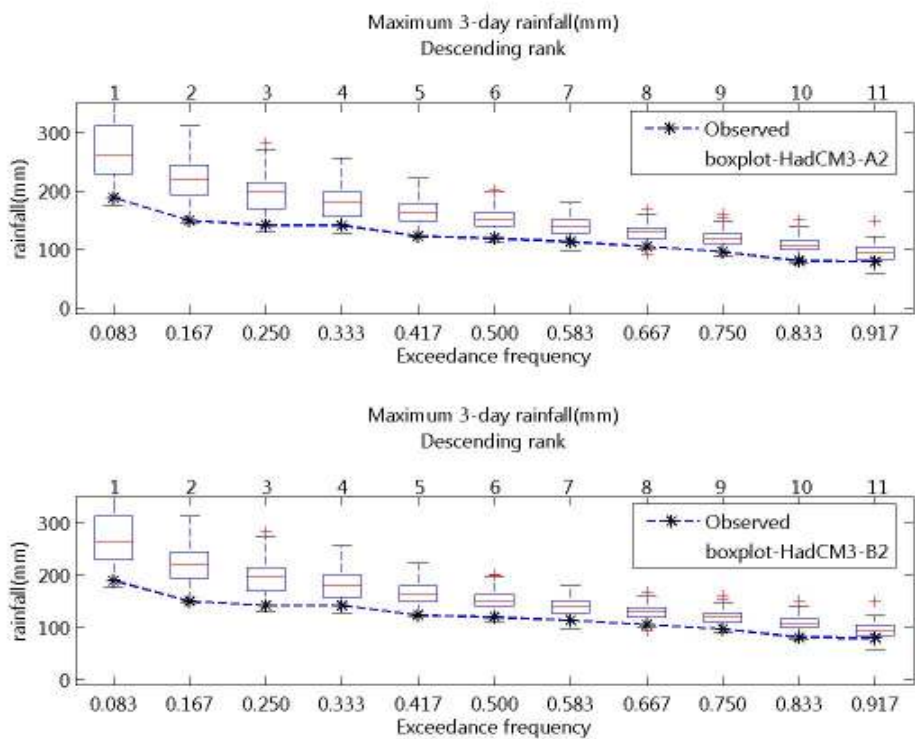


ภาพที่ 6.4 ความถี่ส่วนเกินของฝนสูงสุด 3-วัน ที่คำนวณจากข้อมูลอดีต และที่สังเคราะห์ได้ จากภาพพยากรณ์ HadCM3-A2 และ HadCM3-B2 ในช่วง ค.ศ. 1991-2001 สำหรับสถานี 05092 เทียบกับ ฝนรายวันอดีต



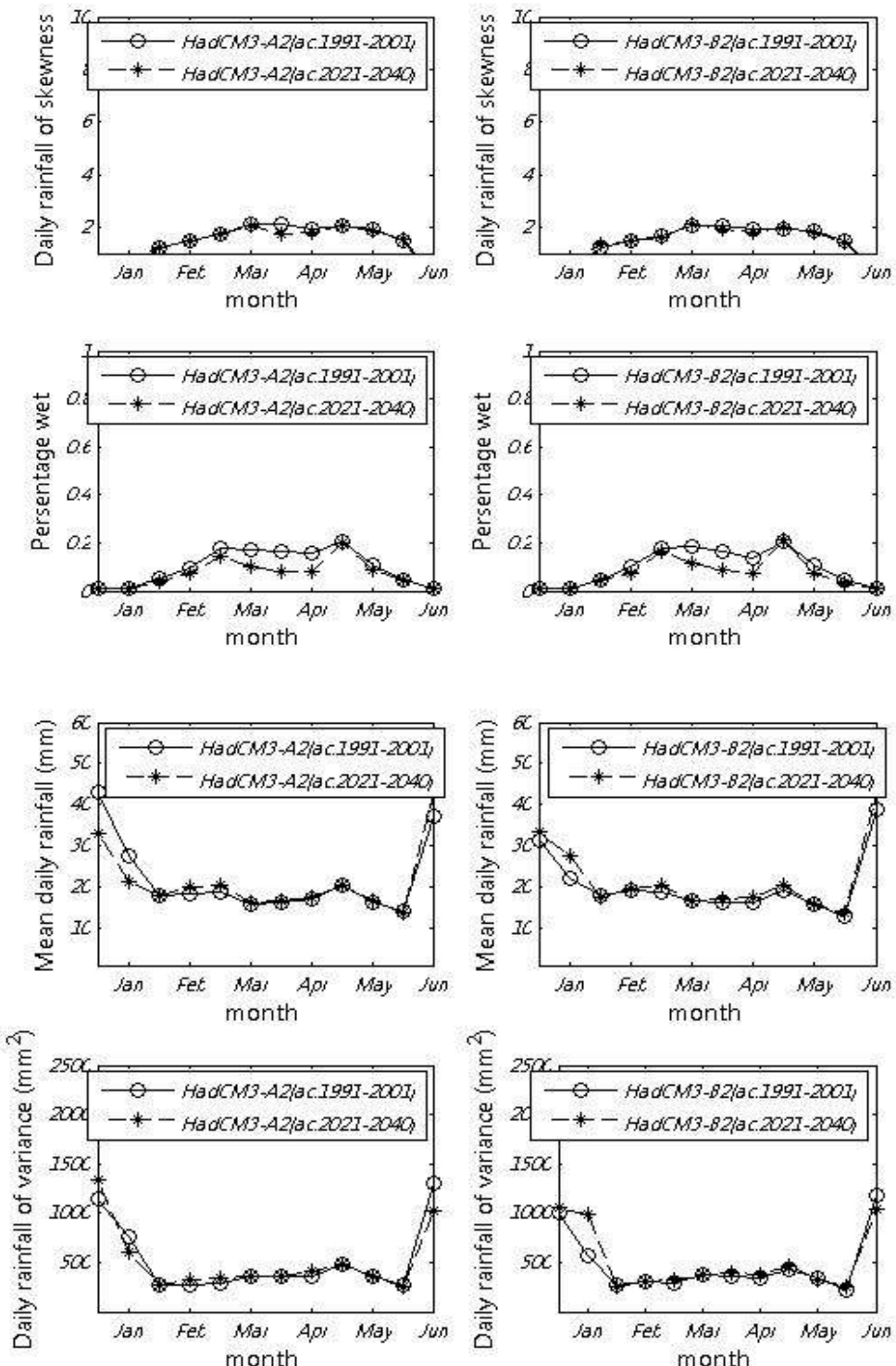
ภาพที่ 6.5 ความถี่ส่วนเกินของฝนสูงสุด 1- และ 2-วันที่คำนวนจากข้อมูลอดีต และที่สังเคราะห์ได้จาก
ภาพนาย HadCM3-A2 และ HadCM3-B2 ในช่วง ค.ศ. 1976-1990 สำหรับ

49062



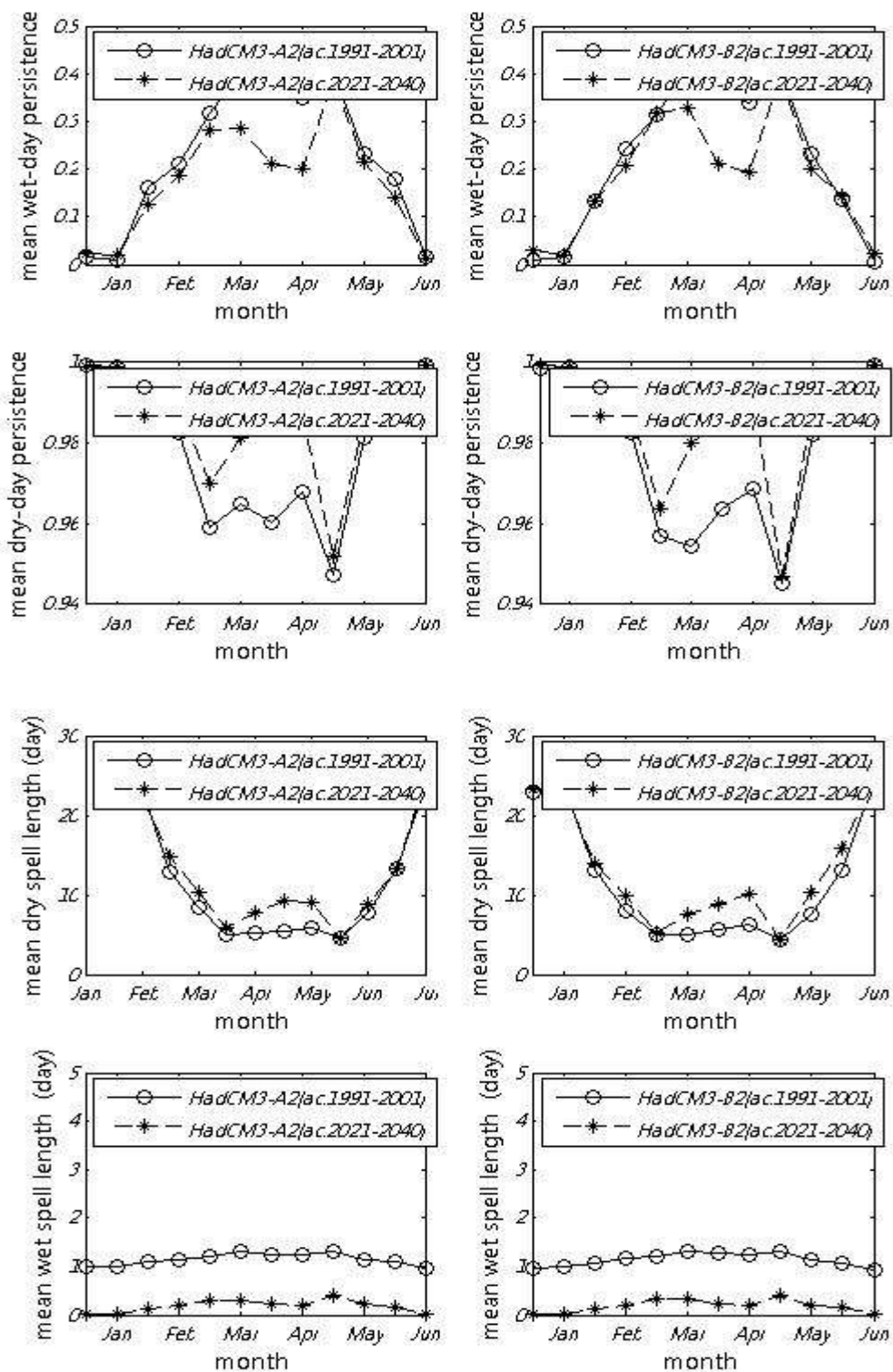
ภาพที่

6.6 ความถี่ส่วนเกินของฝนสูงสุด 3-วัน ที่คำนวนจากข้อมูลอดีต และที่สังเคราะห์ได้จากการพยากรณ์ HadCM3-A2 และ HadCM3-B2 ในช่วง ในช่วง ค.ศ. 1991-2001 สำหรับสถานี 05092 เทียบกับฝนรายวันอดีต

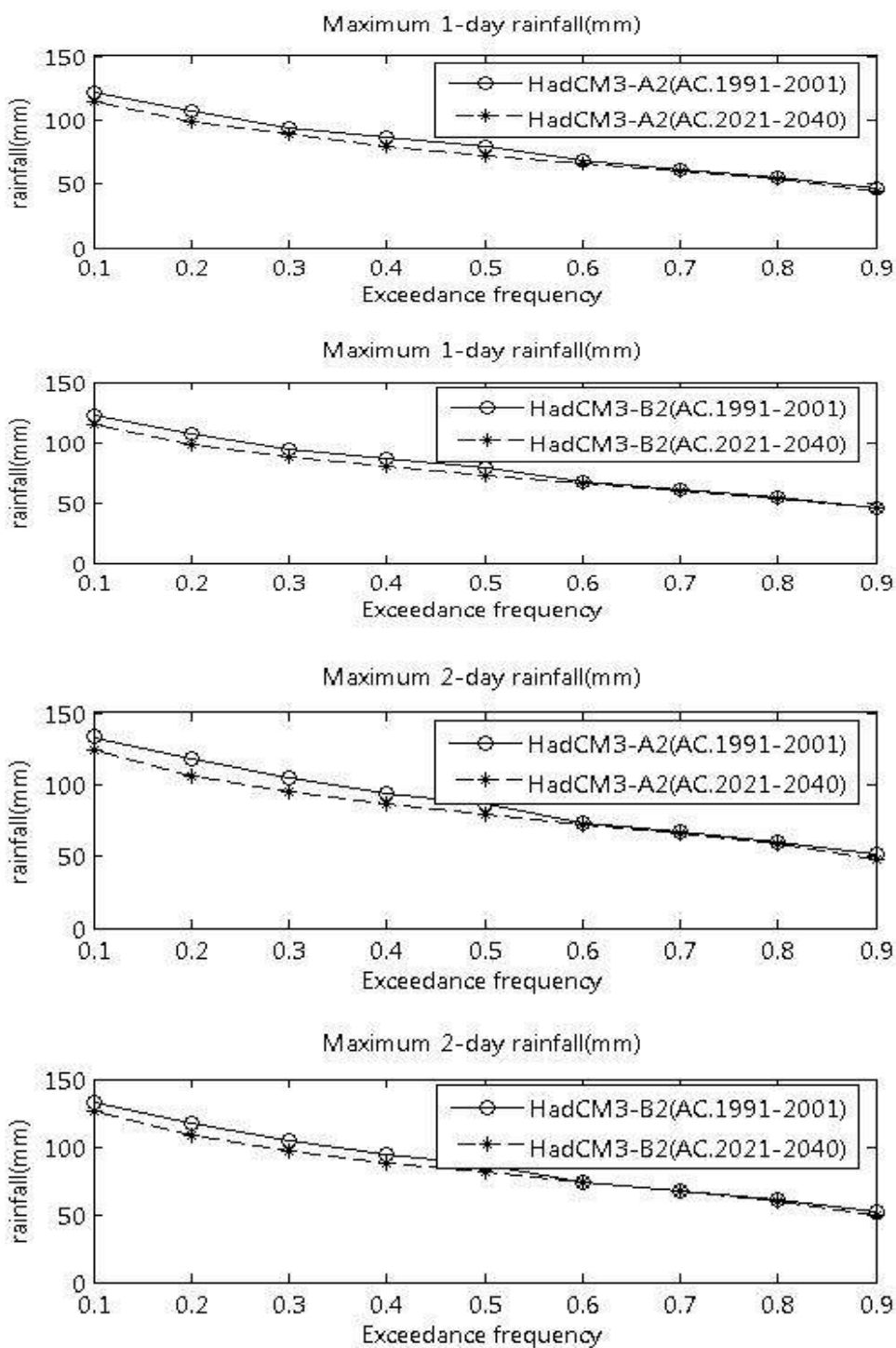


ภาพที่ 6.7 ค่าเฉลี่ย, ค่าความแปรปรวน, ค่าความเบี้ยว และค่าเบอร์เซ็นต์ที่ฝนตกได้จากสภาพชาย

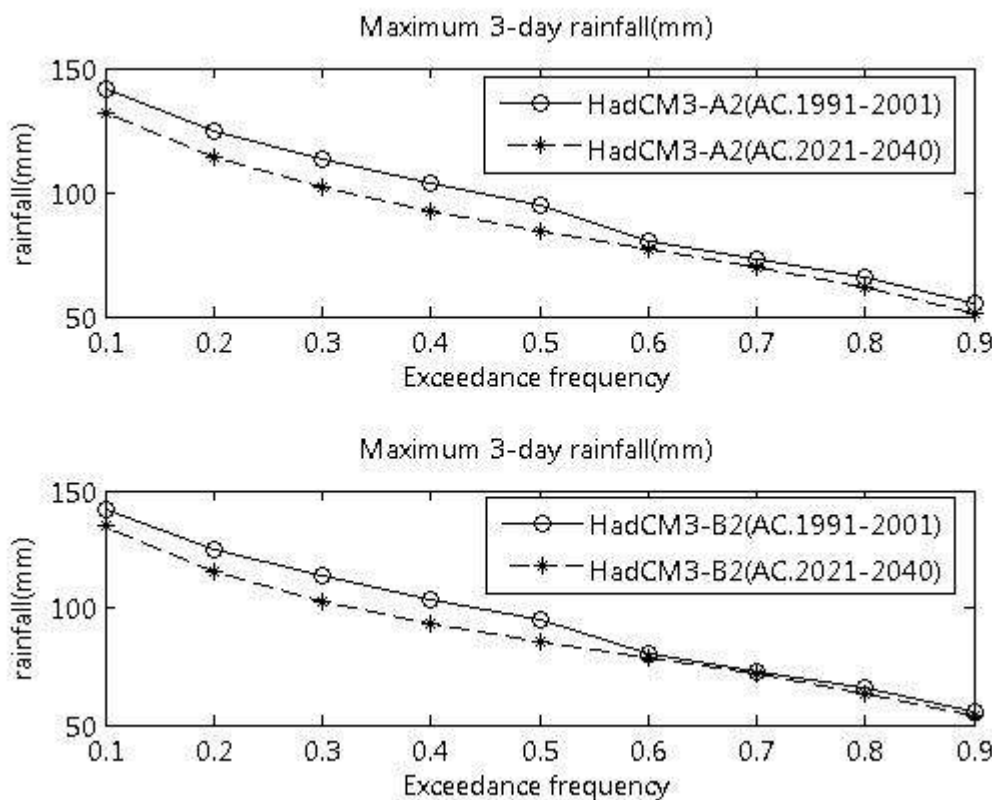
HadCM3-A2 และ HadCM3-B2 ในช่วง ค.ศ. 1991-2001 และ ค.ศ. 2020-2040 สำหรับสถานี 05092



ภาพที่ 6.8 ช่วงเวลาที่ฝนไม่ตก, ช่วงเวลาที่ฝนตก, จำนวนครั้งสัมพัทธิ์ที่ฝนตก, จำนวนครั้งสัมพัทธิ์ที่ฝนไม่ตกจากสภาพอากาศ HadCM3-A2 และ HadCM3-B2 ในช่วง ค.ศ. 1991-2001 และ ค.ศ. 2020-2040
สำหรับสถานี 05092



ภาพที่ 6.9 ปริมาณฝนสูงสุด 1 วัน และ 2 วัน ที่สังเคราะห์ได้จากภาคพาย HadCM3-A2 และ HadCM3-B2 ในช่วง ค.ศ. 1991-2001 และ ค.ศ. 2021-2040 ที่เกิดจากชุดตัวแปร NCEP ที่ได้รับคัดเลือก สำหรับสถานี 05092



ภาพที่ 6.10 ปริมาณฝนสูงสุด 3 ที่สั้นเคาะห์ได้จากการนาย HadCM3-A2 และ HadCM3-B2 ในช่วง
ค.ศ. 1991-2001 และ ค.ศ. 2021-2040 ที่เกิดจากฤดูตัวแปร NCEP ที่ได้รับคัดเลือก สำหรับสถานี
05092

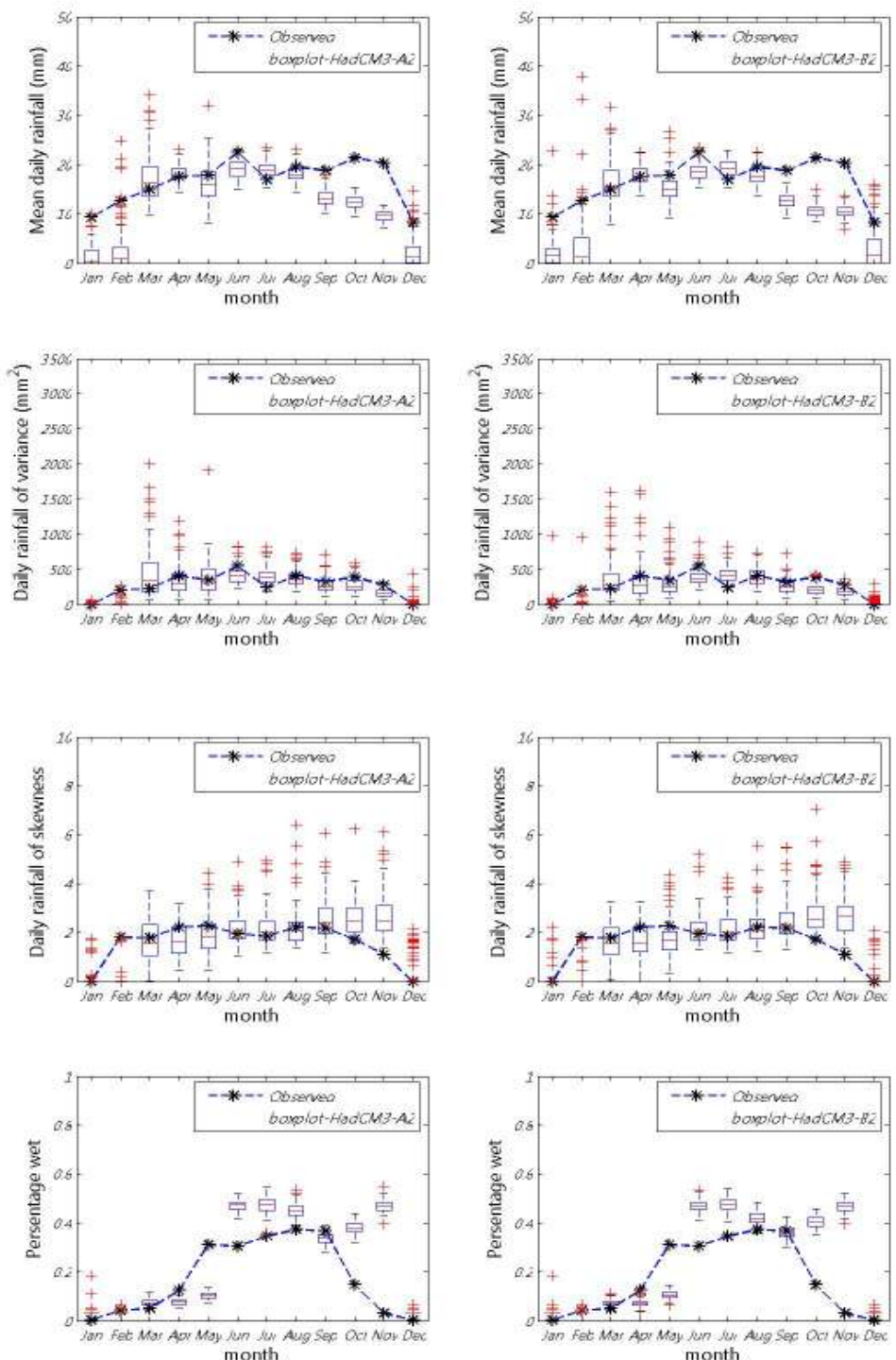
6.2 ลุ่มน้ำมูล

ภาพที่ 6.11-6.12 แสดงคุณลักษณะทางสถิติ (ค่าเฉลี่ย, ค่าความแปรปรวน, ค่าความเบ้, เปอร์เซ็นต์ที่ฝนตก, ช่วงเวลาที่ฝนไม่ตก, ช่วงเวลาที่ฝนตก, จำนวนครั้งสัมพัทธ์ที่ฝนตก, จำนวนครั้งสัมพัทธ์ที่ฝนไม่ตก) ที่สนใจ ของแบบจำลองSDSM ได้จากภาพฉายHadCM3ภายใต้ภาพฉายA2และB2 ในช่วง ค.ศ. 1991-2001 สำหรับสถานี 05092 เทียบกับฝนรายวันอดีต ในช่วงปี ค.ศ. 1991-2001 (รายละเอียดของสถานีอื่นๆได้ใน ภาพ จ.45-จ.84 ของภาคผนวก จ) ผลการเปรียบเทียบแสดงให้เห็นว่าภาพฉาย HadCM3 ภายใต้ภาพฉายA2และ B2 ผลการเปรียบเทียบแสดงให้เห็นว่าแบบจำลอง HadCM3สามารถอธิบาย ค่าเฉลี่ย, ค่าความแปรปรวน, ค่าความเบ้ ช่วงเวลาที่ฝนไม่ตกและจำนวนครั้งสัมพัทธ์ที่ฝนไม่ตกได้ดี (อยู่ในช่วง box plot) ทั้งในภายใต้ภาพฉาย A2 และ B2 แต่จำนวนครั้งสัมพัทธ์ที่ฝนไม่ตกภายใต้ภาพฉาย A2 แบบจำลองให้ค่าที่ต่ำกว่าภาพฉาย B2 โดยเฉพาะในช่วงฤดูฝน ส่วนค่าเปอร์เซ็นต์ที่ฝนตก,ช่วงเวลาที่ฝนตก, และจำนวนครั้งสัมพัทธ์ที่ฝนตก ภาพฉาย HadCM3 อธิบายได้ต่ำกว่าข้อมูลในอดีตทั้งในภายใต้ภาพฉาย A2 และ B2 ซึ่งโดยถือว่าฝนจากแบบจำลองนี้เป็นฝนเกิดขึ้นจริงเนื่องด้วยการเปลี่ยนแปลงสภาพภูมิอากาศ

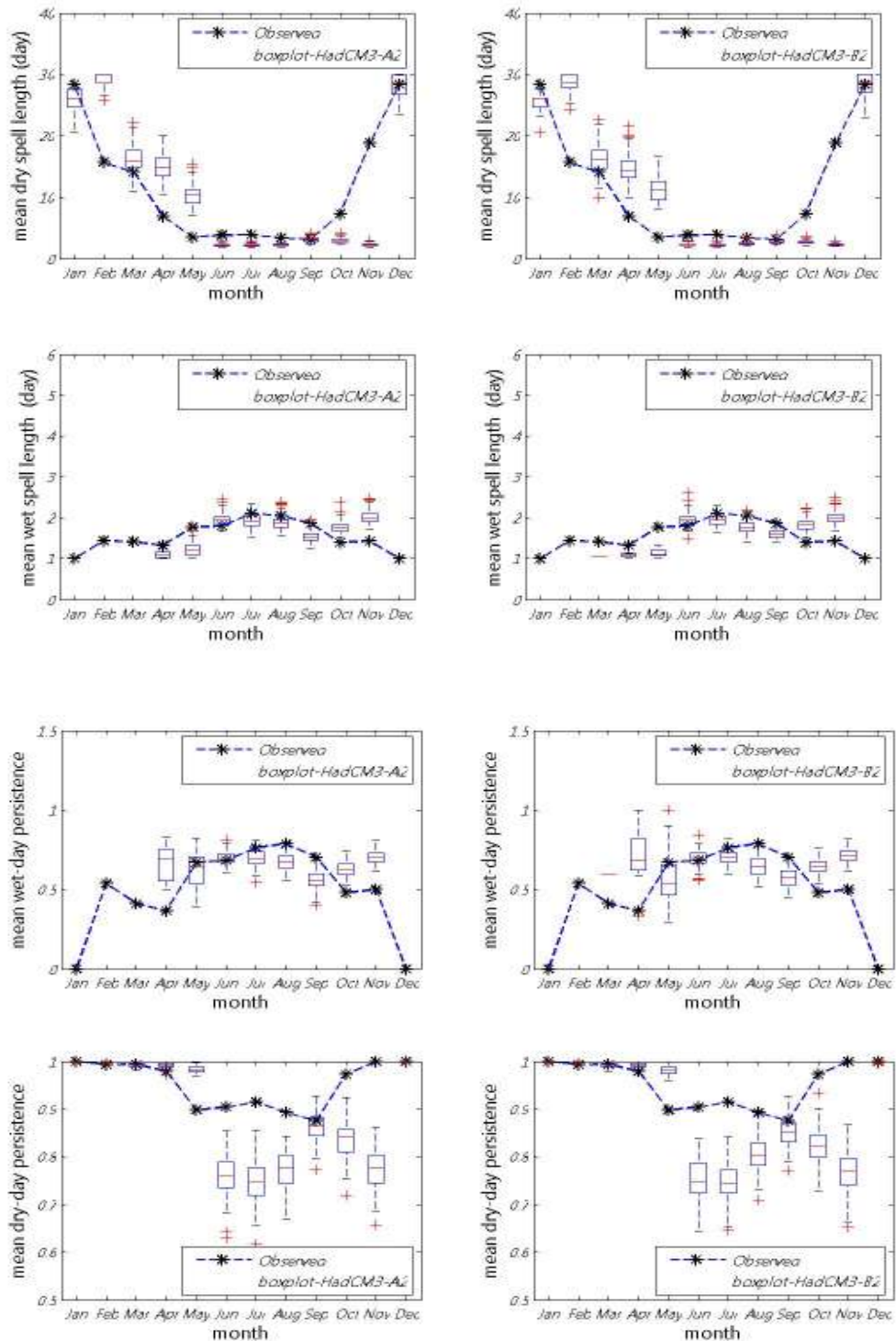
ภาพที่ 6.12-6.14 แสดงปริมาณฝนสูงสุด1วัน 2วัน และ 3วัน ของแบบจำลองSDSM ได้จากภาพฉาย HadCM3 ภายใต้ภาพฉาย A2 และ B2 ในช่วง ปี ค.ศ .1991-2001 จากภาพแสดงให้เห็นว่า แบบจำลองดังกล่าวสามารถจำลองปริมาณฝนสูงสุด 1วัน 2วัน และ3 วัน ได้ดี (อยู่ในช่วง box plot) (รายละเอียดของสถานีอื่นๆได้ใน ภาพ ช.45-ช.84 ของภาคผนวก ช)

ภาพที่ 6.15-6.16 แสดงการประยุกต์แบบจำลอง SDSM สำหรับคาดการณ์ฝนในอนาคตใน ลุ่มน้ำชีนั้นเป็นไปในทิศทางเดียวกันซึ่งจะเห็นได้ว่า อีก 20 ปีข้างหน้านั้น ค่าเฉลี่ย ,ความแปรปรวน , สัมประสิทธิ์ความเบ้ ของฝนไม่มีการเปลี่ยนแปลงมากนัก สำหรับค่าทางสถิติที่เกิดการเปลี่ยนแปลงอย่างเห็นได้ชัดคือค่าที่มีค่าลดลงคือค่าเปอร์เซ็นต์ที่ฝนตก, ช่วงเวลาที่ฝนตก และจำนวนครั้งสัมพัทธ์ที่ฝนตก จะมีค่าเพิ่มลดลงโดยเฉพาะเดือนมิถุนายนถึงสิงหาคม ในทางกลับกันช่วงเวลาที่ไม่ฝนตก และจำนวนครั้งสัมพัทธ์ที่ไม่ฝนตก จะมีค่าเพิ่มขึ้นในเดือนดังกล่าว และที่มีค่าลดลงทุกเดือนอย่างเห็นได้ชัด ได้แก่ค่าช่วงเวลาที่ฝนตก จะมีค่าลดลงในอัตราที่เกือบทุกเดือน (รายละเอียดของสถานีอื่นๆได้ใน ภาพ จ.45-จ.48ของภาคผนวก จ)

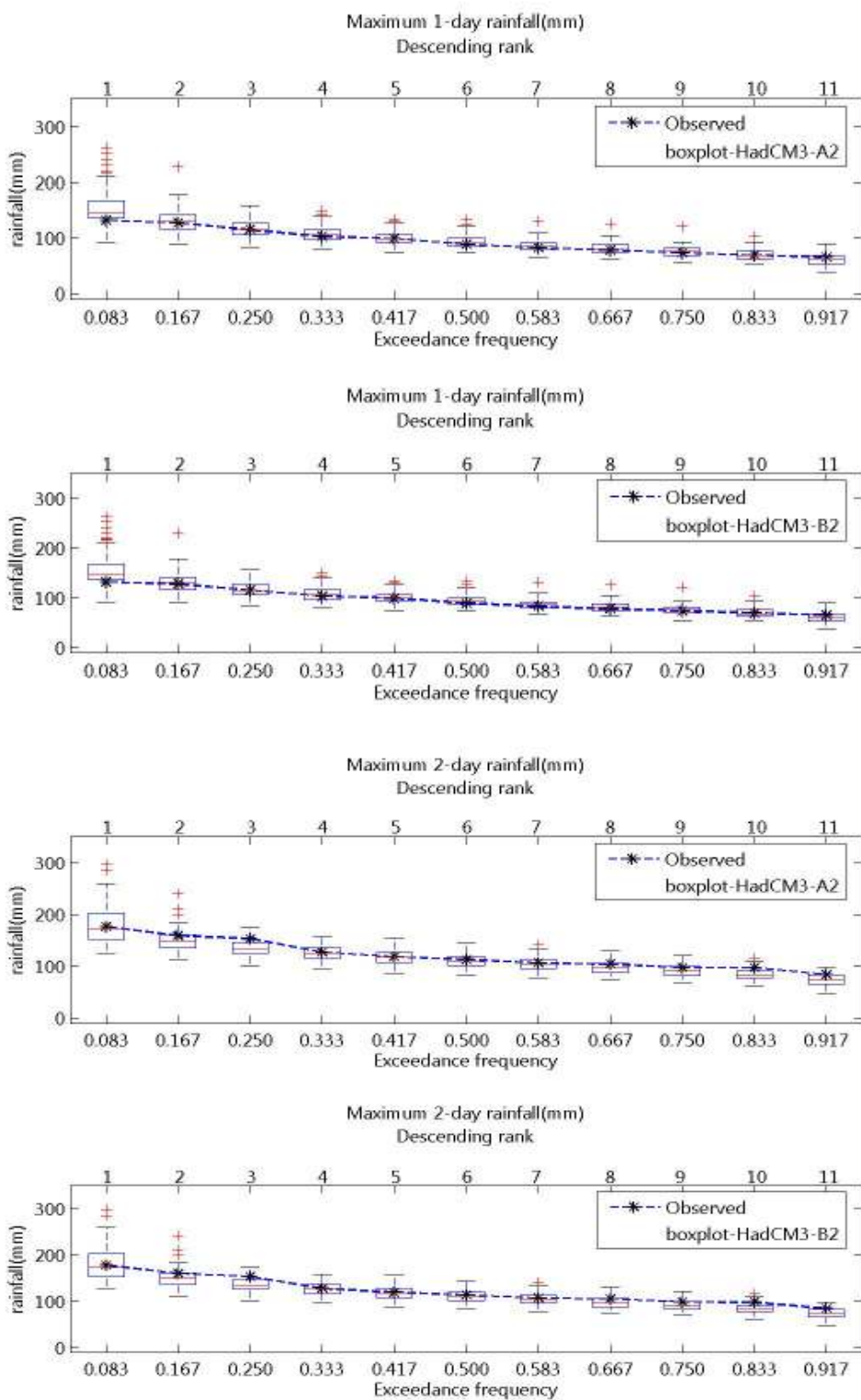
ภาพที่ 6.17-1.18 เปรียบเทียบผนังสูงสุด 1 วัน 2 วัน และ 3 วัน ที่สั่งเคราะห์ได้จากสภาพชาย HadCM3-A2 และ HadCM3-B2 ในช่วงปี ค.ศ. 1991-2001 และปี ค.ศ. 2021-2040 ส่วนใหญ่จะมีค่าลดลงไม่มากนัก โดยจะลดลงเล็กน้อยโดยเฉพาะในช่วงลำดับแรกๆ (รายละเอียดของสถานีอื่นๆ ได้ในภาพ ช.45-ช.84 ของภาคผนวก ช)



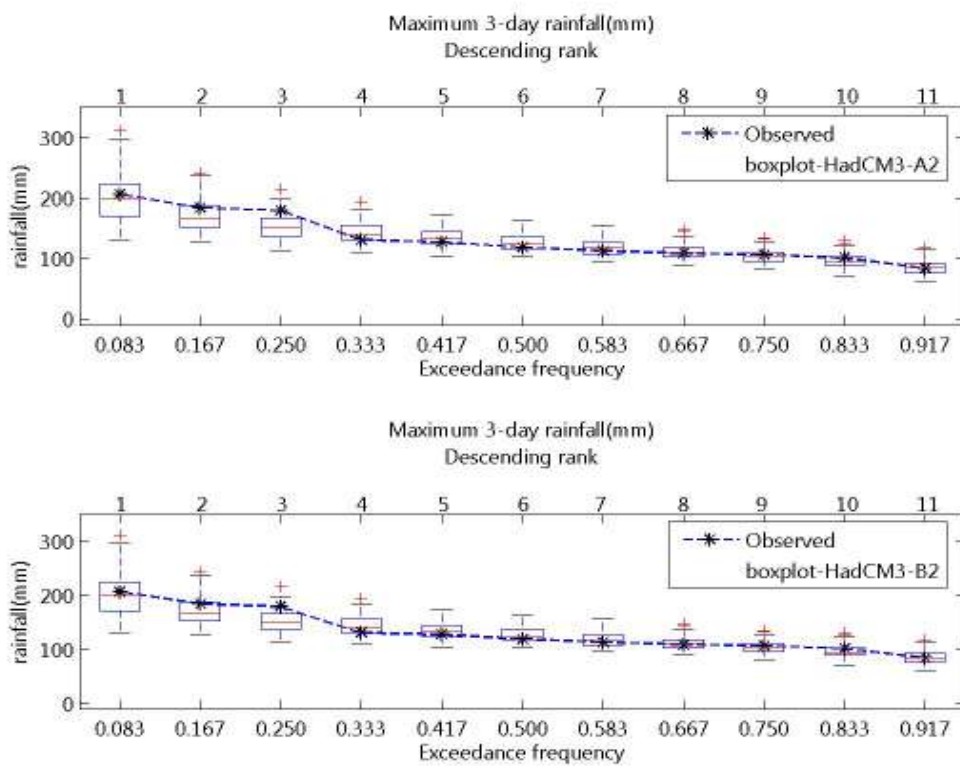
ภาพที่ 6.11 ค่าเฉลี่ย, ค่าความแปรปรวน, ค่าความเบ้ และค่าเบอร์เช็นต์ที่ฝนตกได้จากภาคพาย
HadCM3-A2 และ HadCM3-B2 ในช่วง ค.ศ. 1991-2001 สำหรับสถานี 405008 เทียบกับฝนรายวัน
อดีต



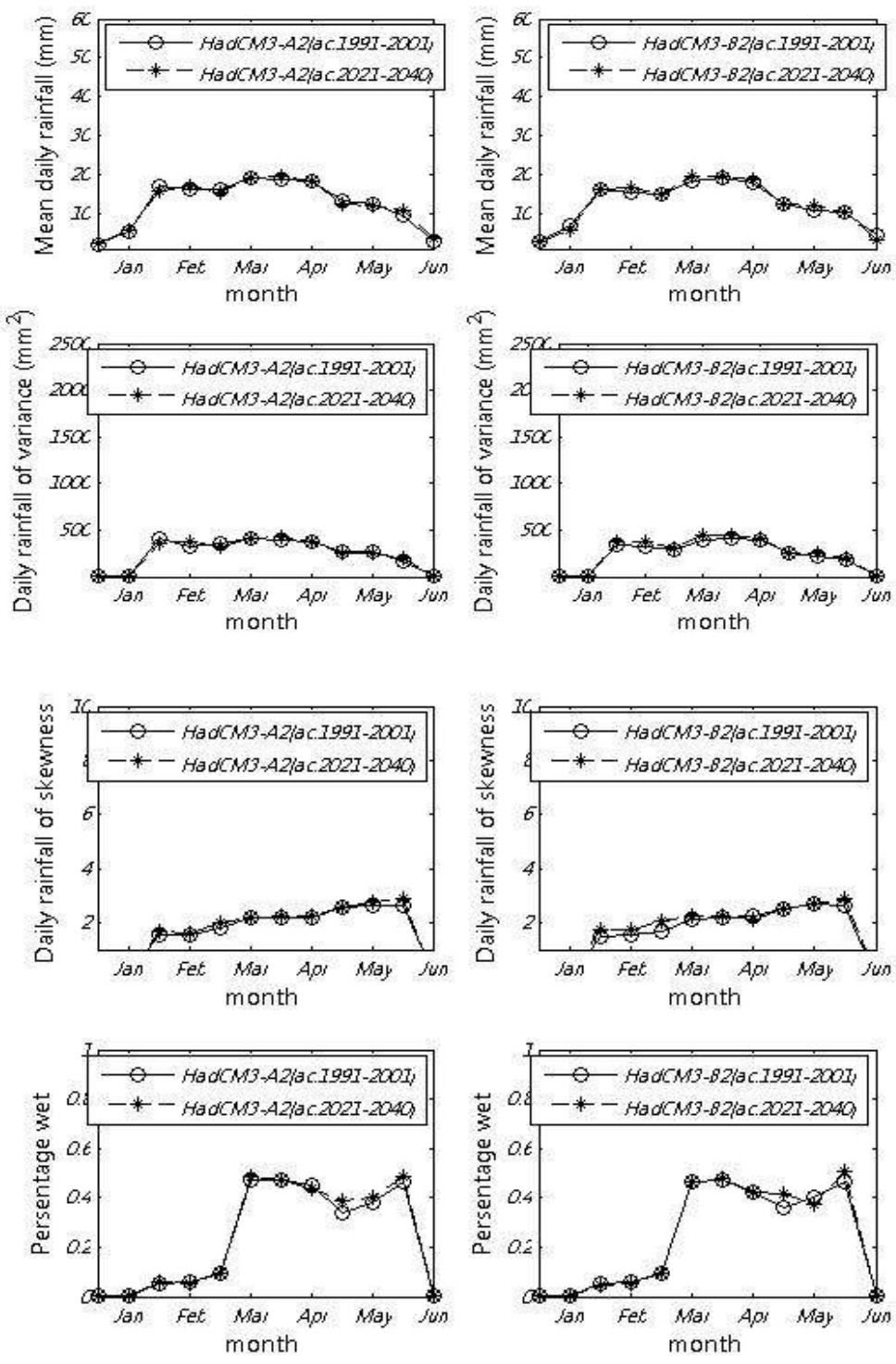
ภาพที่ 6.12 ช่วงเวลาที่ฝนไม่ตก, ช่วงเวลาที่ฝนตก, จำนวนครั้งสัมพثธีที่ฝนตก, จำนวนครั้งสัมพทธีที่ฝนไม่ตกจากภาพ拙ย HadCM3-A2 และ HadCM3-B2 ในช่วง ค.ศ. 1991-2001 สำหรับสถานี 405008 เทียบกับฝนรายวันอดีต



ภาพที่ 6.13 ปริมาณฝนสูงสุด 1 วัน และ 2 วัน ที่สังเคราะห์ได้จากภาคภาษา HadCM3-A2 และ HadCM3-B2 ในช่วง ค.ศ. 1991-2001 สำหรับสถานี 405008 เทียบกับฝนรายวันอดีต

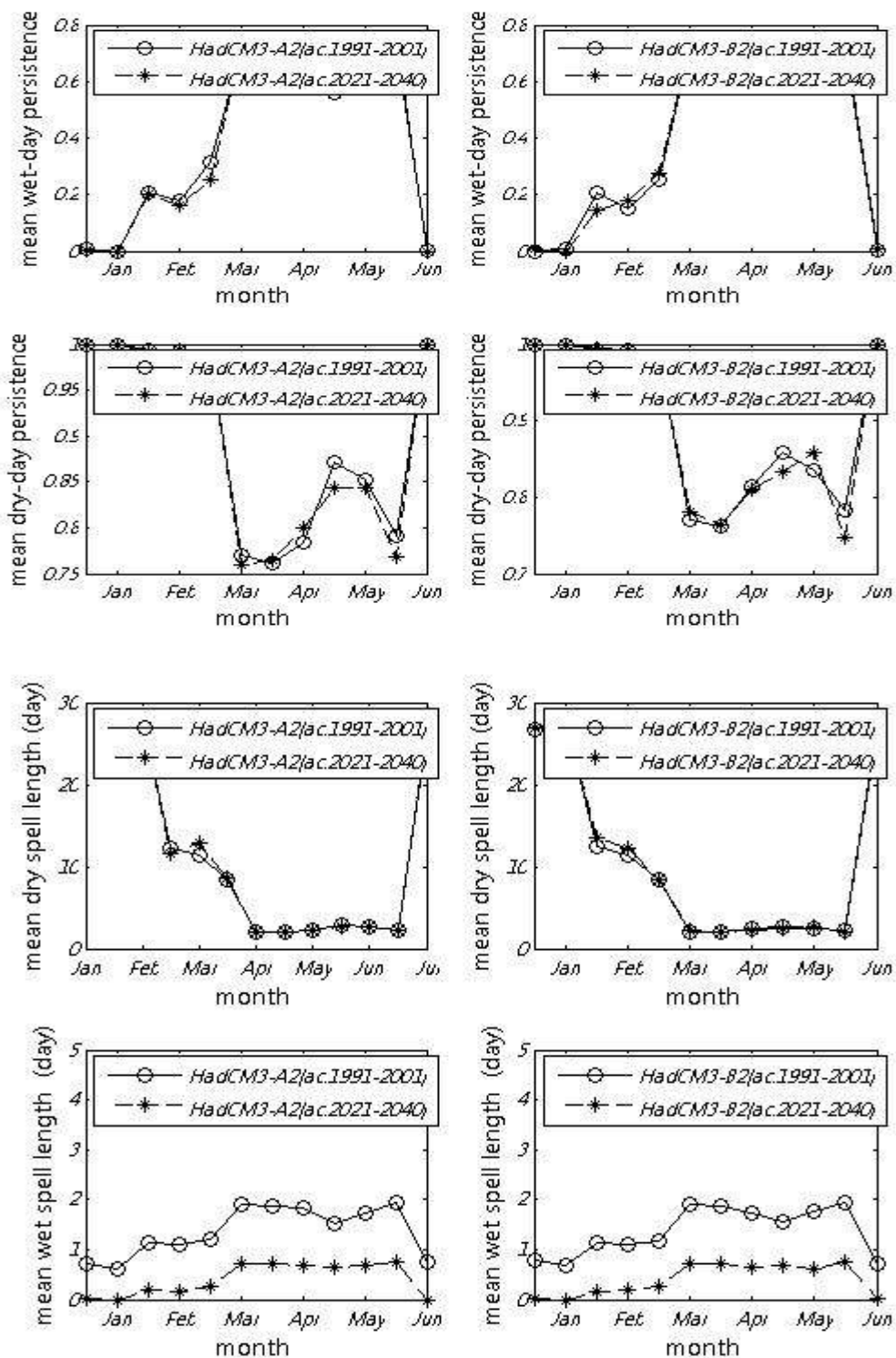


ภาพที่ 6.14 ปริมาณฝนสูงสุด 3 วัน ที่สังเคราะห์ได้จากภาพ拙ย HadCM3-A2 และ HadCM3-B2 ในช่วง ค.ศ. 1991-2001 สำหรับสถานี 405008 เทียบกับฝนรายวันอดีต

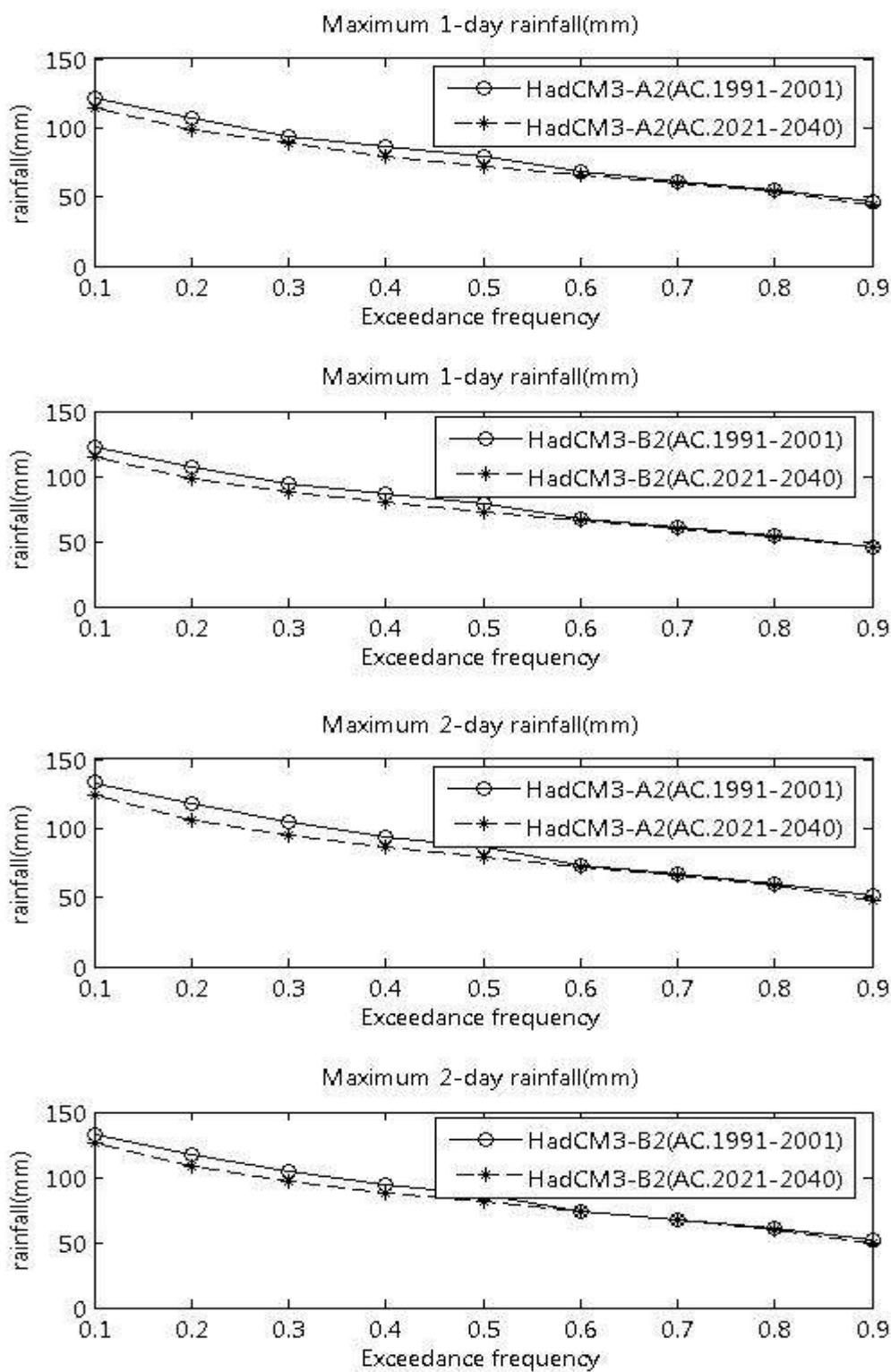


ภาพ

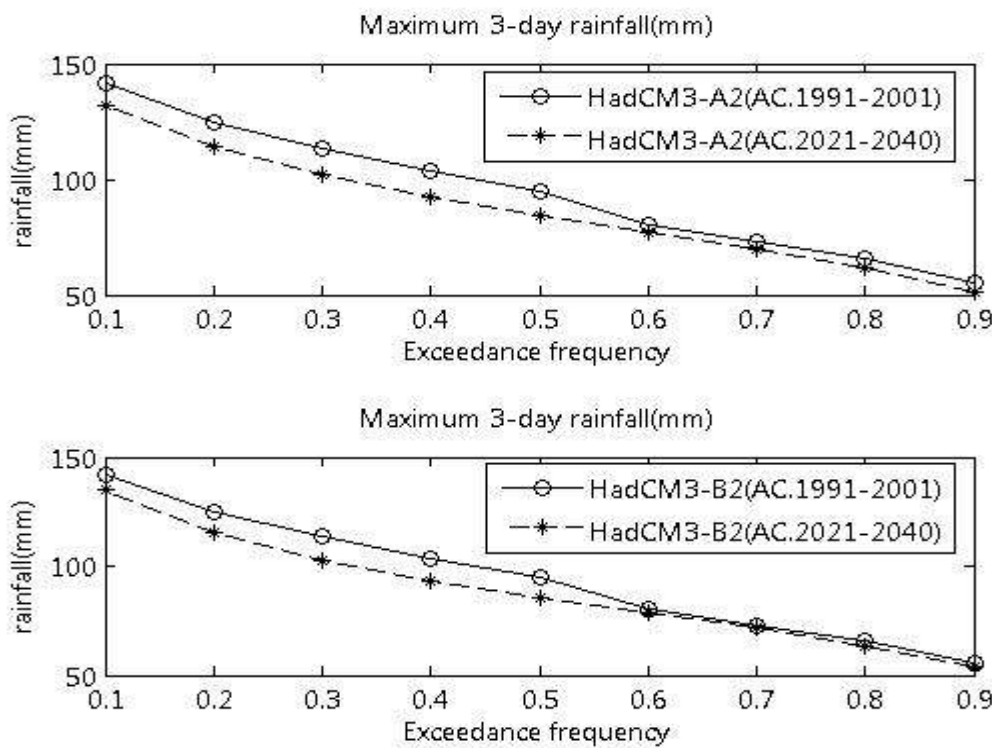
ที่ 6.15 ค่าเฉลี่ย, ค่าความแปรปรวน, ค่าความเบ้ และค่าเบอร์เช็นต์ที่ฝนตกได้จากสภาพอากาศ HadCM3-A2 และ HadCM3-B2 ในช่วง ค.ศ. 1991-2001 และ ค.ศ. 2020-2040 สำหรับสถานี 405008



ภาพที่ 6.16 ช่วงเวลาที่ฝนไม่ตก, ช่วงเวลาที่ฝนตก, จำนวนครั้งลงมีพหุปัจจัยที่ฝนตก, จำนวนครั้งลงมีพหุปัจจัยที่ฝนไม่ตกจากภาพ拙易 HadCM3-A2 และ HadCM3-B2 ในช่วง ค.ศ. 1991-2001 และ ค.ศ. 2020-2040 สำหรับสถานี 405008



ภาพที่ 6.17 ปริมาณฝนสูงสุด 1 วัน และ 2 วัน ที่สังเคราะห์ได้จากภาพฉาย HadCM3-A2 และ HadCM3-B2 ในช่วง ค.ศ. 1991-2001 และ ค.ศ. 2021-2040 ที่เกิดจากชุดตัวแปร NCEP ที่ได้รับคัดเลือก สำหรับสถานี 405008



ภาพที่ 6.18 ปริมาณฝนสูงสุด 3 ที่สั่งเคราะห์ได้จากสภาพอากาศ HadCM3-A2 และ HadCM3-B2 ในช่วง
ค.ศ. 1991-2001 และ ค.ศ. 2021-2040 ที่เกิดจากชุดตัวแปร NCEP ที่ได้รับคัดเลือก สำหรับสถานี
405008